

УДК 550.93:552.3(470.21)

## РАННЕПРОТЕРОЗОЙСКИЙ (2.1 МЛРД. ЛЕТ) Фе-ТОЛЕИТОВЫЙ МАГМАТИЗМ БЕЛОМОРСКОЙ ПРОВИНЦИИ БАЛТИЙСКОГО ЩИТА: ГЕОХИМИЯ, ГЕОХРОНОЛОГИЯ

© 2003 г. А. В. Степанова, А. Н. Ларионов, Е. В. Бибикова,  
В. С. Степанов, А. И. Слабунов

Представлено академиком М.А. Семихатовым 09.12.2002 г.

Поступило 25.12.2002 г.

В пределах восточной части Балтийского щита выделяется ятулийская (2.3–2.06 млрд. лет) Карельская трапповая провинция [1] – одна из крупнейших в мире. Входящие в ее состав платобазальты, силлы и дайки установлены в Карельской и Кольской структурных провинциях, но не были надежно идентифицированы в Беломорской, представляющей собой глубинный срез земной коры докембрийского подвижного пояса (рис. 1).

В Беломорской провинции широко распространены габброиды с коронарными структурами – «друзиты». Среди них выделяются три комплекса: габбро-анортозитов, лерцолитов–габбро-норитов и коронитовых габбро (гранатовых габбро, по В.С. Степанову [2]). Они относятся к высокоглиноземистой, кремнеземистой высокомагнезиальной и Fe-толеитовой сериям соответственно. В последнее время получены данные U–Pb-изотопного датирования по цирконам пород двух первых комплексов, детально изучены петрология и геохимия раннепротерозойского (2.44 млрд. лет) комплекса лерцолитов–габбро-норитов [2–5], однако отсутствовали данные о возрасте и геохимических особенностях комплекса коронитовых габбро. Проведенные ранее исследования показали, что дайки долеритов Карельской провинции и ятулийские платобазальты [6, 7] имеют близкий химический состав [8–10] и возраст образования около 2.1 млрд. лет ( $2113 \pm 4$  млн. лет [11, 12] и  $2114 \pm 14$  млн. лет [13] для даек и  $2150 \pm 60$  млн. лет [14] для базальтов). В ходе настоящего исследования изучены геохимические осо-

бенности коронитовых габбро, проведено численное моделирование условий формирования первичных расплавов этого комплекса и выполнено изотопное датирование пород по цирконам.

Комплекс коронитовых габбро объединяет в своем составе многочисленные дайки и малые интрузивные тела, сложенные метаморфизованными габброидами. Характерной особенностью этих пород является повсеместное развитие коронарных структур, которые представляют собой реакционные каймы на границе зерен плагиоклаза и клинопироксена. Внешняя часть кайм сложена

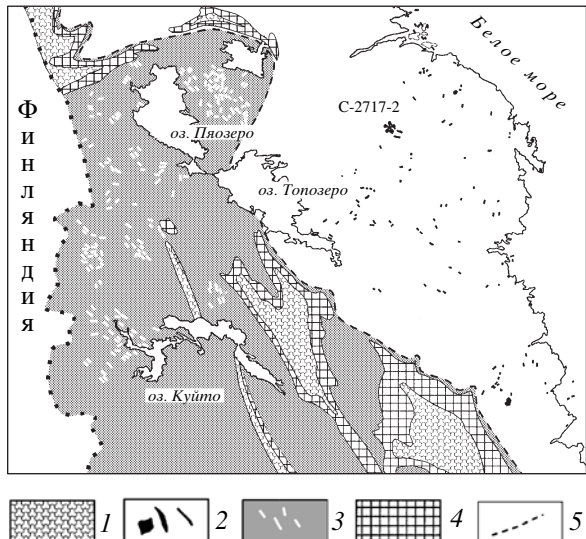
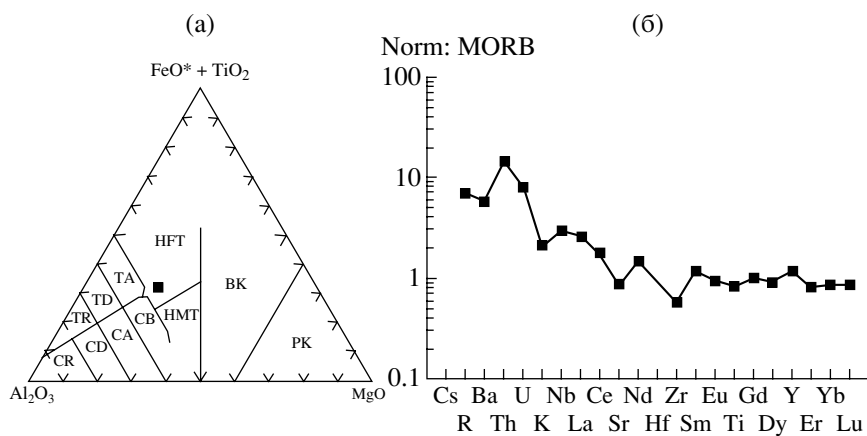


Рис. 1. Схема распространения комплексов даек Fe-толеитов на территории Северной Карелии и место отбора пробы (С-2717-2) для геохронологических исследований. 1 – ятулийские (2.3–2.1 млрд. лет) вулканогенно-осадочные комплексы; 2 – коронитовые (гранатовые) габбро Беломорской провинции; 3 – дайки долеритов Карельского архейского кратона; 4 – нерасчлененные сумийские и сариолийские вулканогенно-осадочные комплексы; 5 – интегральная граница Карельского архейского кратона и Беломорской провинции.

Институт геологии  
Карельского научного центра  
Российской Академии наук, Петрозаводск  
Шведский музей естественной истории,  
Стокгольм  
Институт геохимии и аналитической химии  
им. В.И. Вернадского  
Российской Академии наук, Москва



**Рис. 2.** Диаграмма Йенсена (а) и спайдер-диаграмма (б) для коронитовых габбро; образец C-2717-2 выделен черным цветом.

ксеноморфным гранатом, в составе которого преобладает альмандиновый минал, а внутренняя – тонкозернистым кварц-рогообманковым агрегатом гранобластовой структуры. В породах редко, но встречаются реликты габбровой и офитовой структур.

Коронитовые габбро – это породы основного состава с довольно низким содержанием  $MgO$  (<7.5%), но повышенным содержанием  $FeO^*$  (>12%) и  $TiO_2$  (>1%), что позволяет классифицировать их как высокожелезистые толеиты (рис. 2а). Состав наиболее представительных образцов этих пород приводится в табл. 1. В целом, исключая крупноионные литофильные элементы, которыми коронитовые габбро обогащены в 3–20 раз, по содержанию рассеянных элементов (рис. 2б) они сходны с базальтами COX [15]. Наиболее близкими их аналогами являются континентальные платобазалты (низкоТi–Zr-разновидности). Характер распределения РЗЭ в породах ( $(Ce/Yb)_N = 2.14$ ,  $(Sm/Yb)_N = 1.55$ ,  $(Tb/Yb)_N = 0.97$ ) свидетельствует о том, что родоначальные магмы коронитовых габбро формировались путем плавления мантийного источника, не содержащего гранат, т.е. при давлениях, не превышающих 25 кбар. Результаты количественного моделирования показывают, что наиболее близким к коронитовым габбро по содержанию рассеянных элементов и РЗЭ является расплав, получаемый в результате равновесного плавления мантийного лерцолита в поле стабильности шпинели. Степень плавления источника составляет 15–17%, а первичный расплав соответствует по составу эвтектоидной выплавке из шпинелевого перidotита и, вероятно, близок по содержанию редких элементов к примитивным базальтам COX [15].

Дальнейшая эволюция составов родоначальных магм коронитовых габбро предполагает фракционную кристаллизацию при преимущест-

венном оливиновом контроле с незначительным участием клинопироксена. Это объясняет низкое содержание  $Mg$ ,  $Ni$  и  $Cr$  в породах. Высокое содержание  $FeO^*$  в породах является следствием фракционной кристаллизации в условиях высокой  $f_{O_2}$ , отодвигающей начало кристаллизации оксидов  $Fe$ , из-за чего происходило обогащение остаточных жидкостей  $Fe$ . Реликты офитовых структур в породах позволяют считать, что кристаллизация магм коронитовых габбро происходила в гипабиссальных условиях. Последующая эволюция пород предполагает метаморфические изменения при давлении порядка 5–6 кбар и  $T = 650^\circ\text{C}$  [2]. В процессе метаморфизма в породах сформировались коронарные структуры, которые определяют их современный облик.

Для определения изотопного возраста магматической стадии формирования комплекса коронитовых габбро Беломорской провинции был использован циркон, выделенный из пород дайки мощностью 30 м в районе оз. Боярское. Морфология цирконов и детали их внутреннего строения были рассмотрены с использованием оптического микроскопа и катодной люминесценции (КЛ). В популяции доминируют обломки удлиненных полупрозрачных и непрозрачных трещиноватых цирконов, типичных для интрузивных пород основного состава (рис. 3). КЛ позволила установить практически полное отсутствие в зернах зональности. Они имеют темную КЛ-окраску, что свидетельствует о высоком содержании в них  $U$ . Такие цирконы образуются на поздних стадиях кристаллизации основного расплава.

$U$ - $Pb$ -точечный анализ циркона (результаты см. в табл. 2) проводился на вторично-ионном масс-спектрометре NORDSIM.  $U$ - $Pb$ -возраст по 5 точкам (из 7 проанализированных точек были выбракованы две наименее конкордантные) составляет  $2115 \pm 25$  млн. лет (CKBO = 0.085). Если

**Таблица 1.** Химический состав коронитовых габбро

Компонент	Обр. C-1093-2	Обр. C-1643-3	Обр. C-2003-2	Обр. C-2007-2	Обр. C-2407-13	Обр. C-2717-2	Обр. C-765-40
$Mg^{\#}$	47.97	44.63	33.92	48.65	51.15	41.14	42.12
$SiO_2$	49.65	52.84	51.06	51.93	50.11	50.34	51.36
$TiO_2$	2.37	1.32	2.36	1.07	0.91	1.26	1.33
$Al_2O_3$	13.58	13.37	13.63	13.95	14.04	15.27	14.60
$FeO$	13.39	12.98	15.00	12.46	12.78	13.82	12.83
$MnO$	0.22	0.21	0.21	0.19	0.16	0.22	0.21
$MgO$	6.93	5.87	4.32	6.63	7.51	5.42	5.24
$CaO$	10.20	9.81	8.83	10.10	11.92	9.92	10.33
$Na_2O$	2.61	2.52	3.14	2.86	2.15	2.79	3.32
$K_2O$	0.49	0.70	0.95	0.46	0.05	0.37	0.36
$P_2O_5$	0.36	0.17	0.25	0.14	—	0.22	0.20
Cr	346	243	125	127	173	82	155
Ni	106	82	43	111	121	83	61
Sc	38	41	31	35	0	32	35
V	293	340	258	234	295	123	275
Cu	343	139	74	156	130	39	162
Rb	21	23	30	12	—	8	12
Ba	142	225	262	144	—	84	92
Sr	110	164	183	172	—	109	118
Tl	0.06	0.00	0.10	0.04	1.40	0.00	0.02
Ga	22	19	24	19	—	—	21
Li	0.66	0.69	0.78	0.65	0.63	5.55	0.71
Ta	0.69	0.37	0.65	0.00	0.00	0.55	0.00
Nb	14.7	4.4	9.3	2.8	0.4	10.7	5.7
Zr	193	114	155	100	—	52	132
Y	45	29	35	21	—	40	34
Th	—	—	—	—	—	2.68	—
U	—	—	—	—	—	0.61	—
La	13.23	10.02	10.55	7.73	5.20	10.37	7.18
Ce	35.85	22.49	25.87	17.28	12.00	21.41	18.45
Pr	4.65	2.91	3.65	2.29	1.55	3.43	2.56
Nd	23.23	15.34	19.27	11.79	8.0	16.10	14.86
Sm	5.86	3.78	4.97	2.85	1.95	4.21	4.10
Eu	1.57	0.92	1.32	0.79	0.50	1.21	1.07
Gd	7.27	—	5.88	3.36	2.05	4.79	5.02
Tb	0.95	0.57	0.77	0.45	0.27	0.86	0.64
Dy	8.28	5.32	6.69	3.86	2.30	5.42	5.54
Ho	1.57	0.78	1.01	0.57	0.34	1.11	0.80
Er	4.65	2.91	3.65	2.24	1.25	3.20	3.02
Tm	0.53	0.35	0.43	0.25	0.14	0.46	0.35
Yb	4.34	2.76	3.45	2.08	1.18	3.17	2.87
Lu	0.53	0.34	0.42	0.25	0.03	0.48	0.35

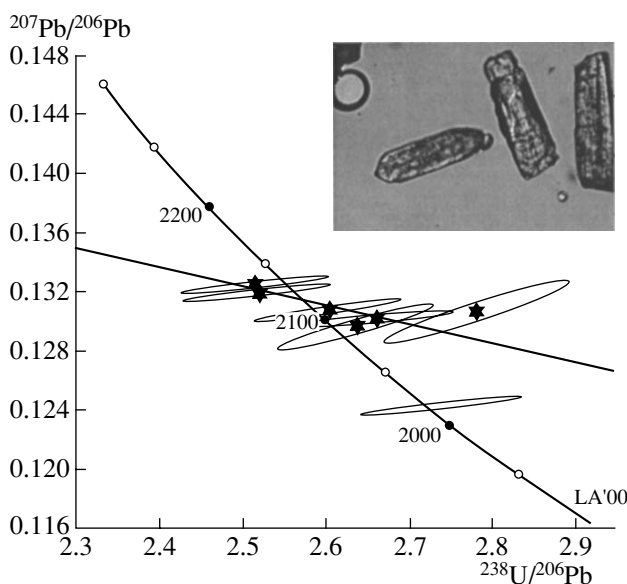
**Таблица 2.** Результаты U-Pb-точечного анализа цирконов пробы 2717-2

№ п.п.	Точка	U, ppm	Th, ppm	$^{207}\text{Pb}/^{235}\text{U}$	$\pm 2\sigma\%$	$^{206}\text{Pb}/^{238}\text{U}$	$\pm 2\sigma\%$	$^{207}\text{Pb}/^{206}\text{Pb}$	$\pm 2\sigma\%$	R	D
1	n87401	1013	2354	6.7448	5.76	0.37581	5.74	0.13017	0.64	0.99	-2.4
2	n87402	557	256	6.2543	5.78	0.36510	5.72	0.12424	0.78	0.99	-0.7
3	n87402a	678	255	6.9224	5.80	0.38398	5.72	0.13075	0.96	0.99	-0.7
4	n87403	484	283	6.4734	6.86	0.35948	6.34	0.13060	2.62	0.92	-7.0
5	n87404	138	79	6.7760	6.12	0.37909	5.78	0.12964	2.02	0.94	-1.2
6	n87404a	404	385	7.2167	5.76	0.39681	5.72	0.13190	0.70	0.99	1.7
7	n87404b	436	440	7.2606	5.76	0.39743	5.72	0.13250	0.70	0.99	1.4

Примечание. R – эррокорреляция  $^{206}\text{Pb}/^{238}\text{U}$ – $^{207}\text{Pb}/^{206}\text{Pb}$ , D – дискордантность, %.

учесть практически конкордантное положение точек, то средневзвешенный  $^{207}\text{Pb}/^{206}\text{Pb}$ -возраст по тем же 5 результатам равен  $2115 \pm 18$  млн. лет (СКВО = 4.6). Таким образом, магматическая стадия формирования интрузий комплекса коронитовых габбро оценивается в  $2115 \pm 25$  млн. лет.

Полученные данные впервые доказали наличие значительного (более 300 млн. лет) разрыва во времени между образованием комплексов лерцолитов–габбро–норитов и коронитовых габбро, а также позволили надежно коррелировать комплекс коронитовых габбро Беломорской провинции с платобазальтами Карельской трапповой провинции, дайками Fe-толеитов западной части Карельской структурной провинции [13, 14] и долеритами северной ее части [2, 7].



**Рис. 3.** Результаты U-Pb-датирования зерен цирконов из коронитовых габбро, образец С-2717-2. Анализы выполнены на приборе NORDSIM в Шведском музее естественной истории. Пересечение  $2115 \pm 25$  и  $791 \pm 431$  млн. лет, СКВО = 0.74.

Резюмируя все сказанное, отметим следующее: 1) впервые в пределах Беломорской провинции Балтийского щита установлено время проявления Fe-толеитового магматизма, представленного интрузиями коронитовых габбро, оцениваемое в  $2115 \pm 25$  млн. лет; 2) по геохимическим характеристикам коронитовые габбро Беломорской провинции сопоставимы с континентальными платобазальтами; 3) совокупность полученных данных позволяет рассматривать коронитовые габбро как проявление раннепротерозойского (ятульского) траппового магматизма в пределах Беломорской провинции Балтийского щита.

Авторы благодарят Университет г. Оулу (Финляндия) и лично J. Vuollo за содействие в проведении аналитических работ и также Шведский музей естественной истории и лично С. Клайсена за предоставленную возможность выполнить геохронологические исследования.

Работа частично выполнена при поддержке РФФИ (грант 00-05-64701) и Шведского Фонда естественнонаучных исследований (стипендия NFR).

#### СПИСОК ЛИТЕРАТУРЫ

- Голубев А.И., Иванников В.В., Филиппов Н.Б. и др. В сб.: Мантийные плюмы и металлогения. М.; Петрозаводск, 2002. С. 60–63.
- Степанов В.С. Основной магматизм докембрия Западного Беломорья. Л., 1981. 216 с.
- Шарков Е.В., Богатиков О.А., Красивская И.С. // Геотектоника. 2000. № 2. С. 3–25.
- Lobach-Zhuchenko S.B., Arrestova N.A., Chekulaev V.P. et al. // Precambr. Res. 1998. V. 92. P. 223–250.
- Слабунов А.И., Ларионов А.Н., Бибикова Е.В. и др. В сб.: Геология и полезные ископаемые Карелии. Петрозаводск, 2001. В. 3. С. 3–14.
- Голубев А.И., Светов А.П. Геохимия базальтов платформенного вулканизма Карелии. Петрозаводск, 1983. 190 с.
- Светов А.П. Платформенный базальтовый вулканализм карелий Карелии. Л., 1979. 208 с.

8. Еин А.С. В сб.: Интрузивные базиты и гипербазиты Карелии. Петрозаводск, 1984. С. 30–41.
9. Степанов В.С., Слабунов А.И. Амфиболиты и ранние базит-ультрабазиты докембрия Северной Карелии. Л., 1989. 175 с.
10. Степанов В.С. В сб.: Докембрий Северной Карелии: петрология и тектоника. Петрозаводск, 1994. С. 118–170.
11. Pekkarinen L.J. // Geol. Surv. Finland Bull. 1979. № 301. P. 1–141.
12. Pekkarinen L.J., Lukkarinen H. // Geol. Surv. Finland Bull. 1992. № 357. P. 1–30.
13. Perttunen V. // Geol. Surv. Finland, Rept Investigation. 1987. V. 76. P. 29–34.
14. Кратц К.О., Левченков О.А., Шулешко И.К. и др. // ДАН. 1976. Т. 231. № 5. С. 1191–1194.
15. McDonough W.F. // Geol. Soc. Spec. Publ. 1989. № 42. P. 313–345.